Auf dem Weg zu einer holographischen Realisierung des Homes'schen Gesetzes

Steffen Müller

Max-Planck-Institut für Physik, München

DPG Rehearsal, 22. Februar 2012



Warum AdS/CFT-Korrespondenz?

Typische Probleme mit starker Kopplung

- Perturbative Methoden außerhalb ihres Gültigkeitsbereichs
- endliche Temperaturen in der Nähe von kritischen Punkten
- endliche Dichten in Gitter-Eichtheorien
- Berechnung von Nicht-Gleichgewichts-Hydrodynamik
- $lue{}$ Echtzeit Dynamik \longrightarrow Transport Eigenschaften

"Lösung":

- AdS/CFT erlaubt Berechnungen im stark gekoppelten Regime
 - bisher am besten untersucht für QCD-artige Modelle
 - Universelles Verhalten verschiedener stark korrelierter Systeme

Bestimmung von Scherviskosität/Entropiedichte des QGP

- Bestimmung von Viskosität/Entropiedichte über $\mathcal{D} = \eta/(\epsilon + P)$
- Dispersions-Relation/Diffusion

$$\omega = -i\mathcal{D}k^2 \qquad \longrightarrow \qquad \frac{\eta}{s} = \frac{1}{4\pi} \frac{\hbar}{k_{\rm B}}$$

Experimentell:

- Quark-Gluon Plasma ist eine stark korrelierte Flüssigkeit mit sehr kleiner Viskosität/Freiheitsgrad
- Sehr gute Übereinstimmung von Theorie und Experiment [Kovtun, Son, Starinets, 2003]

$$\left(\frac{\eta}{s}\right)_{\text{theo}} = \frac{1}{4\pi} \approx 0.0796$$
 $\left(\frac{\eta}{s}\right)_{\text{exp}} \approx 0.08 \, (0.16)$

Anwendung von AdS/CFT auf Probleme der kondensierten Materie

- AdS/CFT liefert gute Ergebnisse für stark gekoppelte Systeme in der Kern- und Teilchenphysik
 - ▶ Bestimmung universellen Verhaltens z.B. η/s
- Neuerdings: Anwendung von AdS/CFT auf stark korrelierte Systeme der kondensierten Materie

Frage:

- Gibt es in diesem Bereich ebenfalls universelles Verhalten das sich mit AdS/CFT beschreiben läßt?
 - Geeigneter Kandidat: Homes'sches Gesetz in Supraleitern

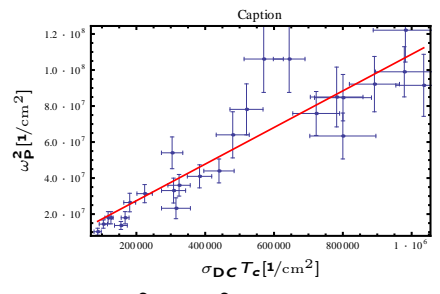
Homes'sches Gesetz in Supraleitern

Supraleiter besitzen universelles
 Skalenverhalten [Homes et al., 2004]

$$ho_{
m s} \propto \sigma_{
m DC}(T_c)T(c)$$

• $\rho_s \equiv \omega_{\mathsf{Ps}}^2$ und $\sigma_{\mathsf{DC}} = \omega_{\mathsf{P}}^2 \tau / 4\pi$:

$$\omega_{\mathsf{Ps}}^2 = C \frac{\omega_{\mathsf{P}}^2 \tau_c}{4\pi} T_c$$



■ Unter der Annahme gültiger Summenregeln $\omega_{\mathsf{Ps}}^2 = \omega_{\mathsf{P}}^2$

$$au_c T_c = \frac{4\pi}{C} \qquad \longrightarrow \qquad au_c = \frac{4\pi}{C} \frac{\hbar}{k_{\rm B} T_c}$$

Zeitskalen in "Strange Metal Phase" von der Größenordnung:

$$au_\hbar \sim rac{\hbar}{k_{
m B}T} \quad \left({
m nahezu\ perfekte\ Flüssigkeit:}\ au_\eta = rac{\eta}{T{
m s}} = rac{1}{4\pi}rac{\hbar}{k_{
m B}T}
ight)$$

AdS/CFT Wörterbuch

AdS/CFT Korrespondenz

$$\mathcal{N}=4$$
 $SU(N)$ Super Yang-Mills \Leftrightarrow Typ IIb String Theorie in $\mathrm{AdS}_5 \times S^5$ Raumzeit

Schwache Form der Korrespondenz:

$$N \to \infty$$
 $\lambda \to \infty$ $g_s \to 0$ $\alpha' \to 0$

► Stark gekoppelte Eichtheorie ⇔ klassische Supergravitation

Zustand-Feld Abbildung

Operator \mathcal{O} in CFT

 $\Leftrightarrow \qquad \qquad \mathsf{Dynamisches} \; \mathsf{Feld} \; \varphi \; \mathsf{in} \\ \Leftrightarrow \; \mathsf{Supergravitation} \; \mathsf{auf} \; \mathsf{AdS} \; \mathsf{Raumzeit} \\$

Holographischer s-Wellen Supraleiter [Hartnoll, Herzog, Horowitz, 2008]

Einstein-Maxwell Wirkung

$$S = \frac{1}{2\kappa^2} \int d^{d+1}x \sqrt{-g} \left[R - 2\lambda + \frac{2\kappa^2}{e^2} \left(\frac{1}{4} F^2 - |\nabla \Psi - iA\Psi|^2 - V(|\Psi|) \right) \right]$$

- $lpha = rac{\kappa^2}{e^2 L^2} \sim rac{c_{\langle JJ \rangle}}{c_{\langle TT \rangle}}$ beschreibt die Rückkopplung auf die Geometrie
- Bewegungsgleichungen für den Hintergrund:

$$R_{ab} - \frac{1}{2}Rg_{ab} + \frac{d(d-1)}{2L^2}g_{ab} = \alpha^2 L^2 T_{ab}[A, \Psi]$$
$$\nabla^a F_{ab} = j_b[A, \Psi]$$

geladenes Skalarfeld Ψ lokales U(1) Eichfeld A_a

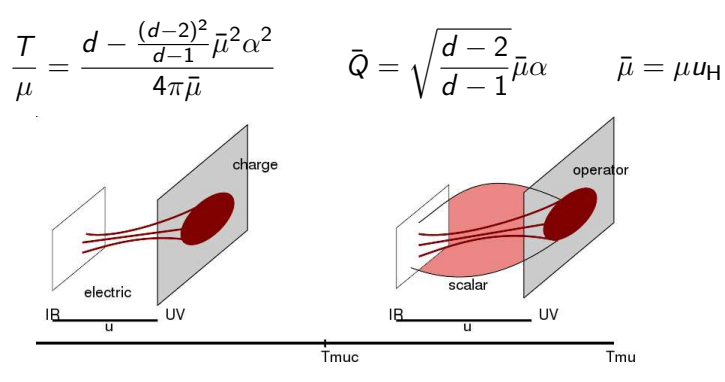
 \Leftrightarrow Cooper Paar $\mathcal{O} = \Psi_{(0)}\Psi_{(0)}$ \Leftrightarrow globaler $\mathit{U}(1)$ Strom J_{μ}

Holographischer s-Wellen Supraleiter

Lösungen der Bewegungsgleichungen

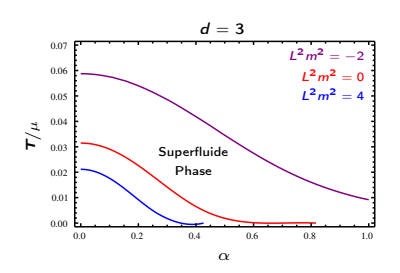
 $\Psi=0$ AdS $_{d+1}$ Reissner-Nordström Schwarzes Loch $\Psi\neq 0$ AdS $_{d+1}$ Reissner-Nordström Schwarzes Loch mit skalaren Haaren

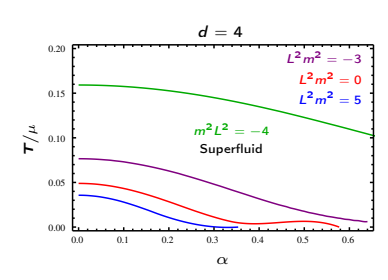
Skaleninvariante Theorie im UV mit dimensionsloser Größe:



Superfluide Phase & Instabilität

- Berechnung retardierter Green'scher Fuktionen aus dem Dissipations-Fluktuations-Theorem für holographische Systeme [Son,Starinets, 2002]
 - lacktriangle Linearisierte Fluktuationsgleichungen in $\delta\psi$ (einfallende Wellenbedingung)
 - Phasenübergang zweiter Ordnung
 Instabilität in retardierter Green's Funktion von $\delta\psi$
 - ▶ Quasi-Normal-Moden Analyse von $G_{\mathcal{O}}^{\mathsf{R}}(\omega,\mathbf{0})$
 - \longrightarrow Pol wandert in die obere ω -Halbebene



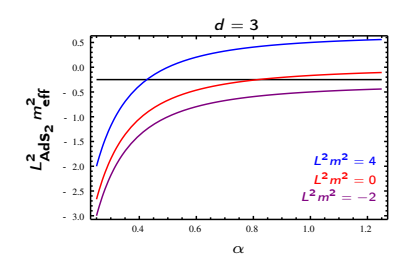


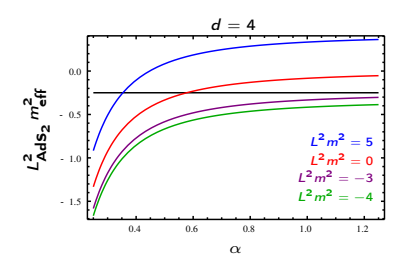
Superfluide Phase & Instabilität

- Für T=0 IR-Geometrie reduziert auf AdS $_2 imes \mathbb{R}^{d-1}$
 - ▶ Bedingung für Kondensation [Gubser, 2008]

$$L_{\mathsf{AdS_2}}^2 m_{\mathsf{eff}}^2 = \frac{1}{d(d-1)} \left(L^2 m^2 - \frac{1}{lpha^2} \right) \le L_{\mathsf{AdS_2}}^2 m_{\mathsf{BF}}^2 = -\frac{1}{4}$$

lacktriangle Bedingung für die Existenz von $lpha_c$





Transport Koeffizienten/Zeitskalen für d=4

Universelles Verhalten für verschiedene Supraleiter:

$$\eta \propto \epsilon \tau_{\eta} \qquad \longrightarrow \qquad \qquad \tau_{\eta} T = \frac{1}{4\pi}$$
 $\tau \propto D \qquad \longrightarrow \qquad \tau_{c} T_{c} \propto D(T_{c}) T_{C} = \text{const.}$

- Ladungs-Diffusion $\longrightarrow \langle \rho \rho \rangle = \langle J_t J_t \rangle$:
 - Lösung der at Bewegungsgleichung

$$D_{\mathsf{R}} = \frac{1}{4\pi T} \frac{(2 - \bar{Q}^2)(2 + \bar{Q}^2)}{2(1 + \bar{Q}^2)}$$

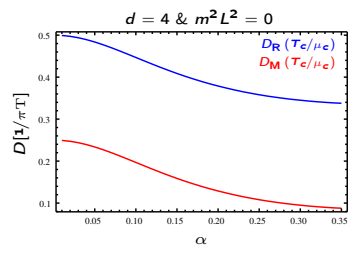
[Banerjee, Bhattacharya, Bhattacharyya, Dutta, Loganayagam et al., 2011]

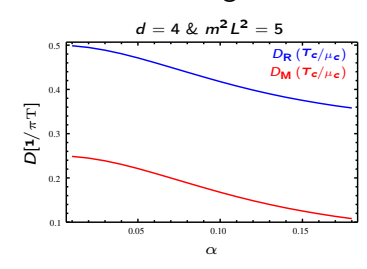
- Impuls-Diffusion $\longrightarrow \langle T_{xy} T_{xy} \rangle$
 - Lösung der hxy Bewegungsgleichung

$$D_{\mathsf{M}} = rac{1}{4\pi\,T} \left(1 + rac{\mu}{T} rac{n}{s}
ight)^{-1} = rac{1}{4\pi\,T} \left(1 + rac{3ar{Q}^2}{(2 - ar{Q}^2)}
ight)^{-1}$$

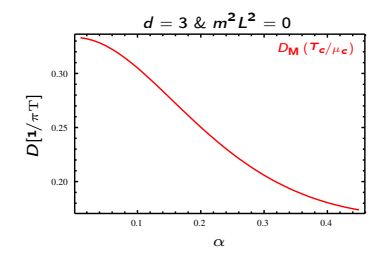
Transport Koeffizienten/Zeitskalen

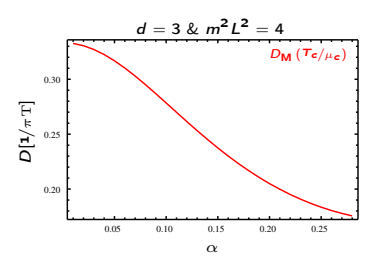
■ Diffusion entlang der kritischen Linie im Phasendiagramm





Für d=3 nur Impulsdiffusion $D_{\rm M}$ bekannt





Zusammenfassung & Ausblick

Zusammenfassung:

- Homes'sches Gesetz & Summenregel liefert $\tau_c T_c = \text{const}$
- Kleine Variationen der Konstante $\tau_c T_c$ unter α als Doping der s-Wellen Supraleiter
- Homes'sches Gesetz nicht gültig für beliebiges Doping [Tallon, Cooper, Naqib, Loram, 2006]

Ausblick:

- Plasmafrequenz-Berechnung in der superfluiden Phase ($T < T_c$) und in der normalen Phase ($T > T_c$)
- Entsprechende Berechnung für holographische d-Wellen Supraleiter